

## II-17 大阪湾に侵入する津波の変形過程について

京都大学防災研究所 正員 中村 重久

1. 緒言 津波は、とくにわが国の海岸災害につながる現象として、その発生機構が研究されてきたが、その実態は、現在もなお、十分解明されたとはいえない難い。これまでに多くの津波に関する研究が行われ、津波の基本特性などは解明に多大の努力がなされてきた。このようにして、津波の力学的特性の把握ができるれば、津波の発生および来襲の予測への道を一步すすめることになる。たゞ32°、わが国では、海岸域の利用度が高く、これはともかく、近年災害の拡大や増大がみられるようである。32°、このような災害の防止策を適切なものとするためにも、津波の伝播率とともに変形過程を明らかにしておく必要がある。32°では、その一端として、大阪湾に侵入した津波の例について検討した結果の要旨を述べる。

2. 津波に関する記述的手法 津波の記録として最も古くからの手法と12年表による表示法がある。これは統計的な津波の特徴は後立つが、年表中の記述には、その精粗、人口と被害地の立地条件、文化的水準、時代的背景なども関連がある。まことに、津波の高さとて、海岸線で観測された最高水位の地理的分布が記述される。あるいは、湾内に侵入した津波では、その高さの伝播方向に対する分布と走時曲線を同時に示すこともある。これらは、現象論的忠実な記述と考えられるが、まことに、別々面から力学的に検討されねばならない。

3. 津波の屈折にともなう変形 津波の伝播において、先駆波の伝播速度は長波の速度で近似できることとして検討された例が多い。

いま、津波の代表周期を約30 minとするとき、水深100 mでのその波長は約18 Kmとなり、津波を綿密裏波で近似してもよといふ論取と考えられる。

1960年の4月津波について、本邦南方洋上から大阪湾までの伝播圖を、たとえば、WORTHINGTON & HERBITCH の方法によつて電子計算機を用いて求めた例が図-1である。図中、実線は波向線であり、破線は波脊線である。この波脊線はMANUALの手法によつて求めたものとよく似ている。図-2には、図-1と同時に計算で得られた津波の屈折率の分布を示す。この屈折率の分布は岸辺いづれ

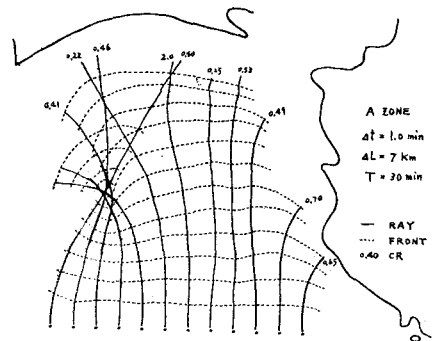


図-1 津波の屈折図

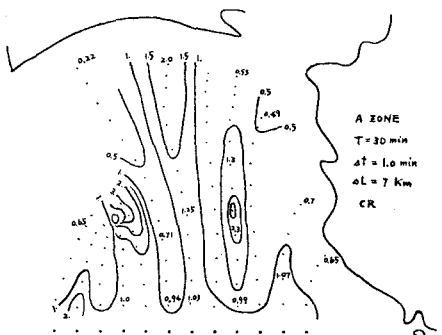


図-2 津波の屈折率の分布

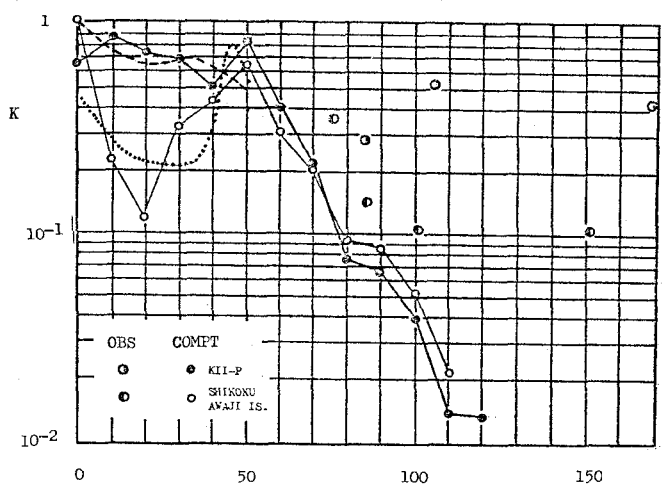


図-3 4月津波の波高に対する屈折の効果 X (Km)

波の波高分布は強い関係があると考えられる。これは、MANUALによると津波の第1波につれて、水深2000mから20mまでの間の震動強度を表すよう、図-3の横軸は串本・室戸を結ぶ線を起算とし、大陸岸へ水路の軸沿いにとった距離である。震幅はより2変化する限りある。串本の波高線、間隔と水深から推定された串本の波高を基準とし、大陸岸および紀伊水道における波高推定値をもとめ、4リ津波の第1波と比較したのが図-3である。チリ津波の初期波につれて、1波ごとに推定した値(折線)と実測値(半黒丸)とを比較すると、実測値は推定値の数倍と/or 10倍がその傾向はよく似ていることがわかる。

しかし、津波の変形には、實際上、回折、反射による複雑な効果などのほか、局地的な地形の影響もあるので、図-3のみで津波の変形特性が明らかにならなかったとするわけにはいかない。津波の周波数特性も考慮しなくてはならない。

4. 津波スペクトルの変形 (a) 時間的変化 津波の代表的周期として、これまで、約30 minと考えたが、津波の記録をBLACKMAN & TUKEY法によつてスペクトル解析してみると、かなりずしもそのようにはいえない。また、津波は過度の現象であるが、スペクトル解析は際しては近似的に正常過程であると仮定する。図-4(a)は、これらを仮定のもとでチリ津波の串本における記録を解析して得られた津波スペクトルを示す。解析は降り、記録水位を3 minごとに読み取った。図-4(b)には、津波到達前3時間の起算とし、津波到達前のスペクトル(実線)と到達後のそれ(破線と実線)との相違がわかるよう示した。津波到達後のスペクトルピークは周期約40 min ( $f = 4.4 \times 10^{-4}$  cps) と約23 min ( $f = 7.4 \times 10^{-4}$  cps) といろいろある。のうち、後者のピーク成分は、津波の到達前にも観察などには注意すれば、外洋からの津波を代表するスペクトルの主ピークは約40 minであり、周期約23 minの成分は津波の侵入により2次の誘起されたものとみるべきであつた、局地的な地形条件を考慮しなくてはならぬのである。また、時間経過とともに、2つの顕著なピーク周波数の高周波成分が大きくなりつつあるが、これは、地形の影響(含め非線型効果による)とみべきである。

(b) 伝播とともに変形 1960年チリ津波につれて、上と同様の仮定のもとで、各高潮記録を解析し、図-3と同様な距離距離に引いた津波スペクトルの変形を示したのが図-5である。これによると、串本以外の地帯では、小島から大陸まで、主ピークの周波数は  $f = 3 \sim 4 \times 10^{-4}$  cps (40~50 min) であり、より高周波領域には地帯ごとに特有のスペクトルが現われてゐるのみである。

5. 結論 以上、大陸岸へ侵入する津波の変形過程を検討した。その前、土屋義人教授の御指導を得た。

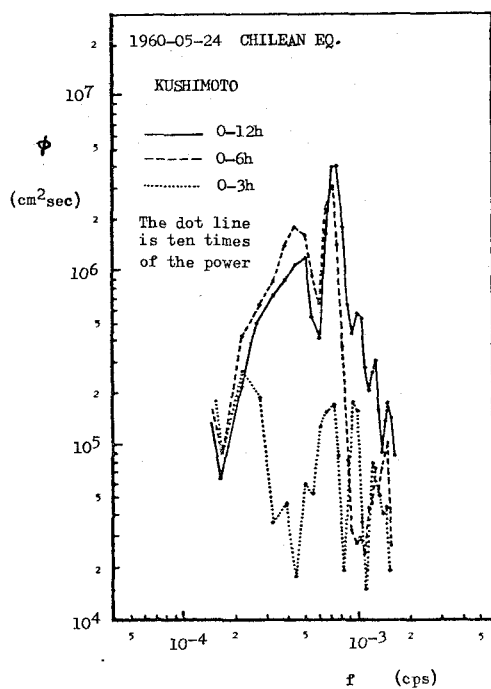


図-4 串本の津波スペクトルの時間的変化

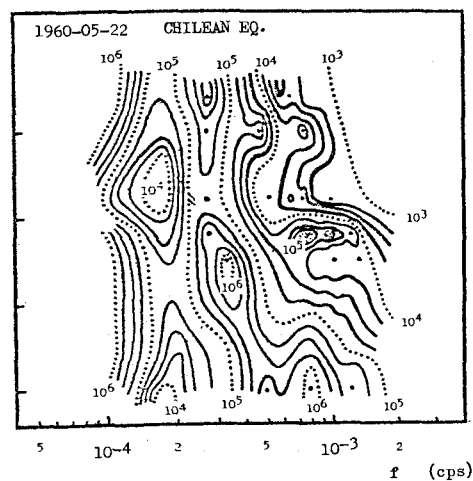


図-5 津波スペクトルの伝播による変形  
(a) 伝播による変形  
1960年チリ津波につれて、上と同様の仮定のもとで、各高潮記録を解析し、図-3と同様な距離距離に引いた津波スペクトルの変形を示したのが図-5である。これによると、串本以外の地帯では、小島から大陸まで、主ピークの周波数は  $f = 3 \sim 4 \times 10^{-4}$  cps (40~50 min) であり、より高周波領域には地帯ごとに特有のスペクトルが現われてゐるのみである。